

Théorie des collisions à basse énergie

Jean-Marc Sparenberg
(Daniel Baye, Pierre Descouvemont)

Université Libre de Bruxelles

École Internationale Joliot-Curie / 17-18 septembre 2007

Plan

- 1 Système de deux particules en mécanique classique
 - Simplifications du problème
 - Section efficace de diffusion élastique
- 2 Système de deux particules en mécanique quantique
 - Simplifications du problème
 - Étude heuristique de l'équation de Schrödinger radiale
 - Déphasages - amplitude de diffusion - section efficace
 - Développement en portée effective - résonances
- 3 Méthode de la matrice R
 - Zone intérieure
 - Zone extérieure
- 4 Généralisation à plusieurs voies

Plan

- 1 Système de deux particules en mécanique classique
 - Simplifications du problème
 - Section efficace de diffusion élastique
- 2 Système de deux particules en mécanique quantique
 - Simplifications du problème
 - Étude heuristique de l'équation de Schrödinger radiale
 - Déphasages - amplitude de diffusion - section efficace
 - Développement en portée effective - résonances
- 3 Méthode de la matrice R
 - Zone intérieure
 - Zone extérieure
- 4 Généralisation à plusieurs voies

Séparation du mouvement du centre de masse

Système de **deux particules**, masses m_1, m_2 , coordonnées $\mathbf{r}_1, \mathbf{r}_2 \Rightarrow$

- masse totale M et coordonnée du centre de masse \mathbf{R}
- **masse réduite** μ et **coordonnée relative** \mathbf{r}

$$\mu = \frac{m_1 m_2}{m_1 + m_2}, \quad \mathbf{r} = \mathbf{r}_1 - \mathbf{r}_2$$

(vitesse relative \mathbf{v} , impulsion relative $\mathbf{p} = \mu \mathbf{v}$)

Pour un potentiel d'interaction $V(\mathbf{r})$,

- centre de masse = particule libre (pas très intéressant)
- on se ramène à un problème à **une particule**
 - ▶ de masse μ et de coordonnée \mathbf{r} ($\equiv m_1$ si $m_1 \ll m_2$)
 - ▶ d'énergie totale conservée

$$E = T + V(\mathbf{r}) = \frac{\mathbf{p}^2}{2\mu} + V(\mathbf{r})$$

Séparation du mouvement angulaire

Pour un potentiel central $V(r)$

- le moment cinétique $\mathbf{L} = \mathbf{r} \times \mathbf{p}$ est conservé
 - ▶ direction \Rightarrow mouvement plan
 - ▶ module \Rightarrow connaissant r , on connaît la vitesse angulaire
- on se ramène à un mouvement à **une dimension**
 - ▶ dans un **potentiel effectif** (dépendant de L^2)

$$V_{\text{eff}}(r) = \frac{\mathbf{L}^2}{2\mu r^2} + V(r)$$

- ▶ d'énergie totale conservée

$$E = T_r + V_{\text{eff}}(r) = \frac{p_r^2}{2\mu} + V_{\text{eff}}(r)$$

Exemple : potentiel Newtonien

- Puits dans le potentiel effectif car
 - ▶ potentiel central **attractif** et non confinant

$$V(r) = -\frac{Gm_1m_2}{r} \xrightarrow{r \rightarrow \infty} 0$$

- ▶ potentiel centrifuge (toujours) **répulsif**

$$\frac{\mathbf{L}^2}{2\mu r^2}$$

- Deux types de solutions
 - ▶ $E < 0$: orbites liées, deux points de rebroussement
 - ▶ $E = \mathbf{p}_{\text{as}}^2/2\mu > 0$: orbites libres, un point de rebroussement

Paramètre d'impact $b \leftrightarrow$ moment cinétique $L = p_{\text{as}}b$

Section efficace différentielle

- Problème : cible et faisceau constitués de particules microscopiques
 ⇒ paramètre d'impact/moment cinétique non contrôlés
 ⇒ on suppose un flux incident homogène n_{inc}

$$\Rightarrow \underbrace{N_{\text{diff}}(\Delta\Omega)}_{\text{diffusées}} = n_{\text{inc}} \times \underbrace{\sigma(\Delta\Omega)}_{\text{section efficace}}$$

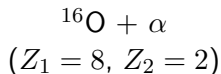
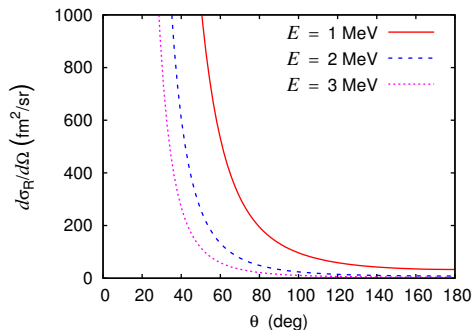
- Section efficace différentielle

$$\frac{d\sigma}{d\Omega}(\Omega) = \lim_{\Delta\Omega \rightarrow 0} \frac{N_{\text{diff}}(\Delta\Omega)}{n_{\text{inc}}\Delta\Omega}$$

- ▶ dépend de $\Omega = (\theta, \phi)$, **symétrie de révolution** ⇒ θ seulement
- ▶ dépend de l'énergie E

$$\Rightarrow \frac{d\sigma}{d\Omega}(E, \theta)$$

Exemple : formule de Rutherford



- Potentiel coulombien : $V(r) = \frac{Z_1 Z_2 e^2}{4\pi\epsilon_0 r}$
- Section efficace différentielle (aussi valable en quantique)

$$\frac{d\sigma_R}{d\Omega}(E, \theta) = \frac{2\pi db}{2\pi \sin \theta d\theta} = \left(\frac{Z_1 Z_2 e^2}{4\pi\epsilon_0} \right)^2 \frac{1}{16E^2 \sin^4 \frac{\theta}{2}}$$

Plan

- 1 Système de deux particules en mécanique classique
 - Simplifications du problème
 - Section efficace de diffusion élastique
- 2 Système de deux particules en mécanique quantique
 - Simplifications du problème
 - Étude heuristique de l'équation de Schrödinger radiale
 - Déphasages - amplitude de diffusion - section efficace
 - Développement en portée effective - résonances
- 3 Méthode de la matrice R
 - Zone intérieure
 - Zone extérieure
- 4 Généralisation à plusieurs voies

Quantification du moment cinétique orbital

- Hamiltonien du mouvement relatif, où $\mathbf{p} = -i\hbar\nabla_{\mathbf{r}}$

$$H = T + V(r) = \frac{\mathbf{p}^2}{2\mu} + V(r) = -\frac{\hbar^2}{2\mu}\Delta_{\mathbf{r}} + V(r)$$

- Ensemble complet d'observables qui commutent

$$\{H, \mathbf{L}^2, L_z\}$$

- **Base** des états propres correspondants (ondes partielles)

$$\varphi_{Elm}(\mathbf{r}) = R_{El}(r)Y_l^m(\Omega) = \frac{u_{El}(r)}{r}Y_l^m(\theta, \phi)$$

- Harmoniques sphériques : $Y_l^m(\theta, \phi) \propto P_l(\cos\theta)e^{im\phi}$
 $\Rightarrow \mathbf{L}^2 |\varphi_{Elm}\rangle = \hbar^2 l(l+1) |\varphi_{Elm}\rangle$ et $L_z |\varphi_{Elm}\rangle = \hbar m |\varphi_{Elm}\rangle$

Équation de Schrödinger radiale

- $H |\varphi_{Elm}\rangle = E |\varphi_{Elm}\rangle$ si et seulement si

$$\left[-\frac{\hbar^2}{2\mu} \frac{d^2}{dr^2} + \underbrace{\frac{\hbar^2 l(l+1)}{2\mu r^2} + V(r)}_{\text{pot. effectif } V_l(r)} \right] u_{El}(r) = E u_{El}(r)$$

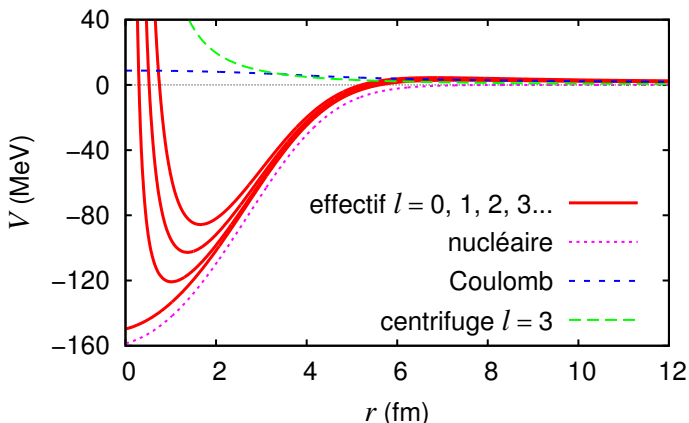
- Nombre d'onde k tel que $E = \hbar^2 k^2 / 2\mu \Rightarrow$ écriture simplifiée

$$\left[-\frac{d^2}{dr^2} + V_l(r) \right] u_{kl}(r) = k^2 u_{kl}(r)$$

(V_l et $E = k^2$ en unités réduites $\hbar = 2\mu = 1$)

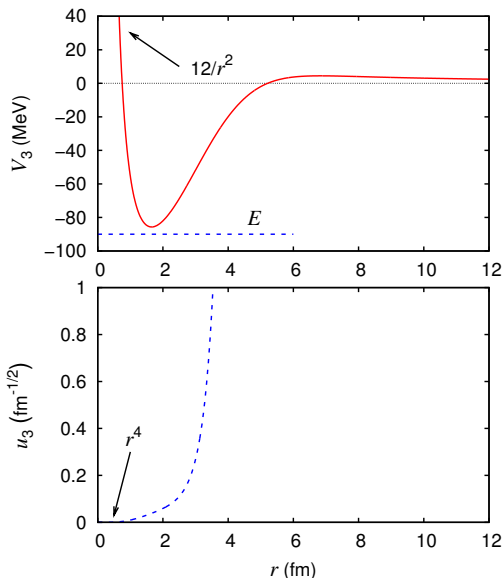
- Condition à l'origine (sinon $R(r)$ infinie)

$$u_{kl}(0) = 0$$

Exemple : potentiel d'interaction $^{16}\text{O} + \alpha$ pour $l = 3$ 

- Coulomb : point-sphère = $2\eta k/r$ pour $r \geq 4$ fm (η = paramètre de Sommerfeld, sans dimension)
- Nucléaire : mélange Gaussienne/Woods-Saxon [Michel et al., 1983]

$E = k^2 = -\kappa^2 < 0$, toujours inférieure au potentiel



$$\frac{u_{kl}''(r)}{u_{kl}(r)} = \underbrace{\kappa^2 + V_l(r)}_{>0}$$

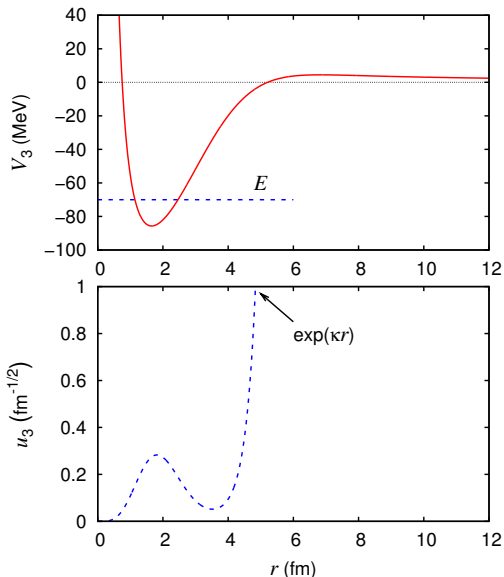
- u et u'' de même signe
 $\Rightarrow u$ "s'éloigne de l'axe"
- À l'origine, coeur répulsif

$$V_l(r) \underset{r \rightarrow 0}{\sim} \frac{l(l+1)}{r^2}$$

\Rightarrow fonction d'onde "écrasée"

$$u_{kl}(r) \underset{r \rightarrow 0}{\sim} r^{l+1}$$

$E = -\kappa^2 < 0$, parfois supérieure au potentiel



$$\frac{u_{kl}''(r)}{u_{kl}(r)} = \underbrace{\kappa^2 + V_l(r)}_{>0 \text{ ou } <0}$$

- Points d'inflexion là où

$$V_l(r) = E$$

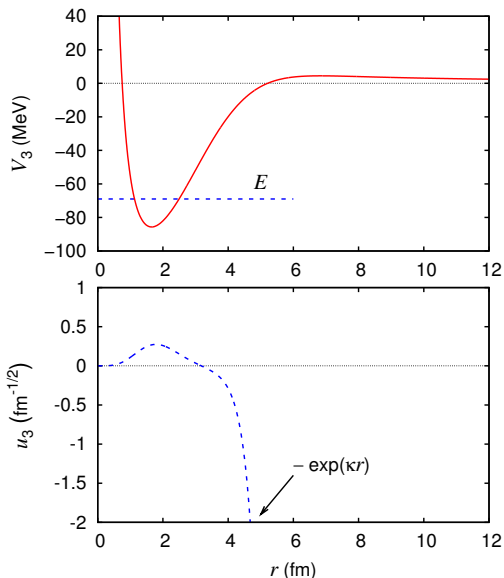
u "se rapproche" de l'axe

- À l'infini, $V_l(r) \xrightarrow[r \rightarrow \infty]{} 0$

$$u_{kl}(r) \underset{r \rightarrow \infty}{\sim} \underbrace{C e^{\kappa r}}_{\text{dominant}} + D e^{-\kappa r}$$

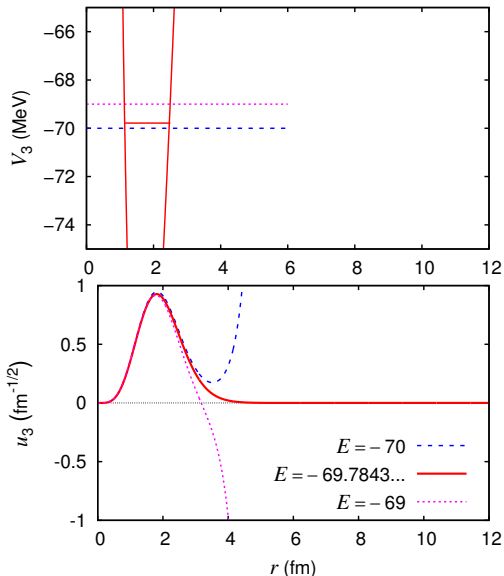
non bornée (!! $\eta = 0$!!)

$E = -\kappa^2 < 0$, parfois supérieure au potentiel



- E croît
- u se rapproche de l'axe... et le croise \Rightarrow **noeud radial**
- À l'infini, u change de signe, toujours **non bornée**

$E = -\kappa^2 < 0$, premier état lié



Pour une énergie unique

- apparition du noeud radial
- changement de signe
- décroissance exponentielle

$$u_{kl}(r) \underset{r \rightarrow \infty}{\sim} \underbrace{C e^{\kappa r}}_{=0} + D e^{-\kappa r}$$

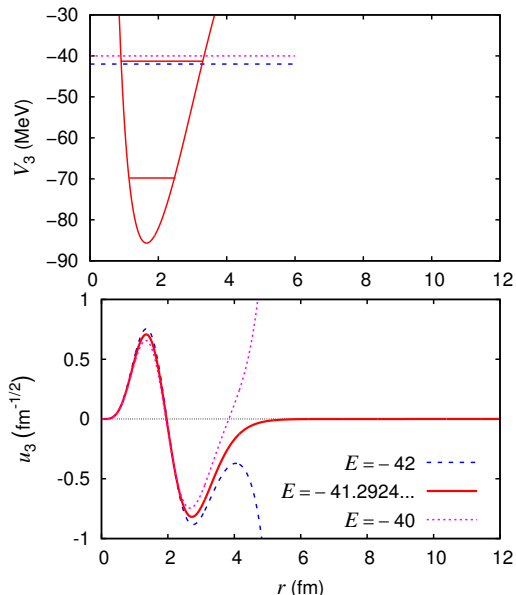
bornée, normalisable

- $D =$ constante de normalisation asymptotique

spectre **discret**

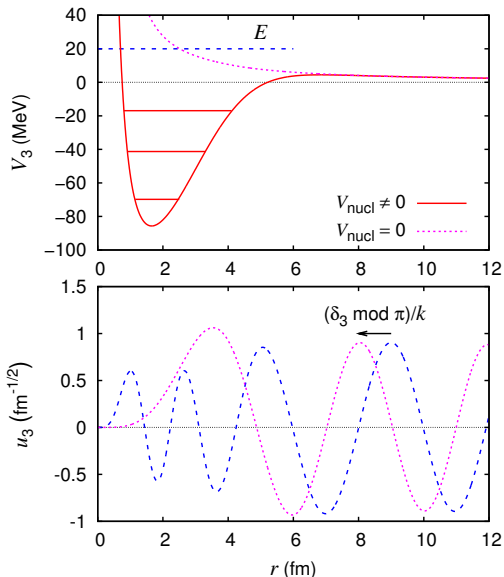
énergies liées **quantifiées**

$$E = -|k|^2 < 0, \text{ second état lié}$$



- Idem pour second état lié, avec **1 noeud** radial supplémentaire
- Idem pour le troisième état lié, avec **2 noeuds** radiaux
- ...

$E = k^2 \geq 0$, état libre, déphasage asymptotique



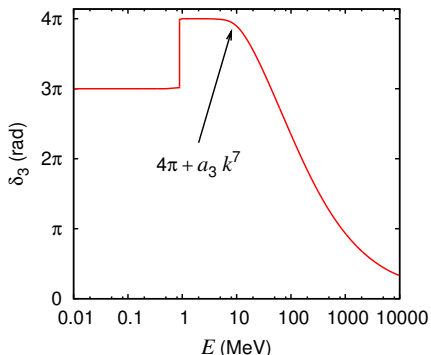
$$u_{kl}(r) \underset{r \rightarrow \infty}{\propto} C e^{ikr} + D e^{-ikr}$$

- bornée \Rightarrow spectre **continu**
- normalisation arbitraire
- potentiel réel \Rightarrow

$$u_{kl} \underset{r \rightarrow \infty}{\propto} \sin \left[kr - l \frac{\pi}{2} + \delta_l(k) \right]$$

- déphasage $\delta_l(k)$
- $V_{\text{nucl}} = 0 \Rightarrow \delta_l(k) = 0$
 \Rightarrow résume l'influence du potentiel à grande distance
- ambiguïté de π dans cette définition du déphasage, soluble en théorie

Définition et propriétés théoriques des déphasages



- $\delta_l(k)$ continu
- $\delta_l(\infty) = 0$ (potentiel négligeable)
Relativiste !
- Théorème de Levinson
 $\delta_l(0) = N_l \pi$, nombre d'états liés
- Développement en portée effective
 $\delta_l(k) - \delta_l(0) = a_l k^{2l+1} + \dots$
longueur de diffusion a_l

- Formule théorique sans ambiguïté de π (!! $l = \eta = 0$!!)

$$\delta_0(k) = -k \int_0^\infty V_0(r) \frac{u^2}{u'^2 + k^2 u^2} dr$$

[Chadan *et al.*, JMP 2001]

Matrice de collision

$$u_{kl}(r) \underset{r \rightarrow \infty}{\propto} \sin \left[kr - l \frac{\pi}{2} + \delta_l(k) \right]$$

$$\underset{r \rightarrow \infty}{\propto} \underbrace{e^{-i(kr - l\pi/2)}}_{\text{onde entrante}} - \underbrace{e^{i(kr - l\pi/2)}}_{\text{onde sortante}} \times \underbrace{e^{2i\delta_l(k)}}_{U_l(k)}$$

$U_l(k) =$ “matrice” de collision

- unitaire (diffusion élastique \Rightarrow conservation du flux)
- dimension = nombre de voies (1 ici)
- $V_{\text{nucl}} = 0 \Rightarrow \delta_l(k) = 0 \Rightarrow U_l(k) = 1$
(diffusion libre/Coulombienne)
- ambiguïté de π pour $\delta_l(k) \Rightarrow U_l(k)$ inchangée

Sections efficaces

- État stationnaire de diffusion $H |\varphi_{k\mathbf{1}_z}\rangle = E |\varphi_{k\mathbf{1}_z}\rangle$ avec

$$\varphi_{k\mathbf{1}_z}(\mathbf{r}) \underset{r \rightarrow \infty}{\propto} \left[e^{ikz} + \frac{e^{ikr}}{r} f(k, \theta) \right]$$

- ▶ **symétrie de révolution azimutale**
- ▶ paramètre d'impact non défini
- ▶ base pour un traitement en paquets d'ondes [Taylor, 1972]
- Amplitude de diffusion $f(k, \theta) \Rightarrow$
 - ▶ section efficace différentielle

$$\frac{d\sigma}{d\Omega}(E, \theta) = |f(k, \theta)|^2$$

- ▶ section efficace totale

$$\sigma(E) = \int_{4\pi} |f(k, \theta)|^2 d\Omega$$

Méthode des déphasages pour l'amplitude de diffusion

- Décomposition en ondes partielles de $|\varphi_{k1z}\rangle \Rightarrow m = 0, l = 0, \dots, \infty$

$$u_{kl}(r) \underset{r \rightarrow \infty}{\propto} \sin(kr - l\pi/2) + e^{i(kr - l\pi/2)} f_l(k)$$

amplitude de diffusion partielle $f_l(k) = \frac{U_l(k) - 1}{2ik} = \frac{e^{i\delta_l(k)} \sin \delta_l(k)}{k}$

$$\Rightarrow f(k, \theta) = \sum_{l=0}^{\infty} (2l + 1) f_l(k) \underbrace{P_l(\cos \theta)}_{\text{Legendre}}$$

- Sections efficaces : **interférences** dans $d\sigma/d\Omega$, pas dans

$$\sigma(E) = \sum_{l=0}^{\infty} \sigma_l(E) = 4\pi \sum_{l=0}^{\infty} (2l + 1) |f_l(k)|^2$$

- Avantage : à **basses énergies**, quelques ondes partielles seulement
- Mais grandeurs mesurables $\sigma \neq$ grandeurs calculables δ_l

Autres méthodes de calcul de l'amplitude de diffusion

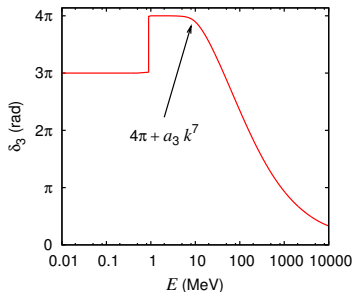
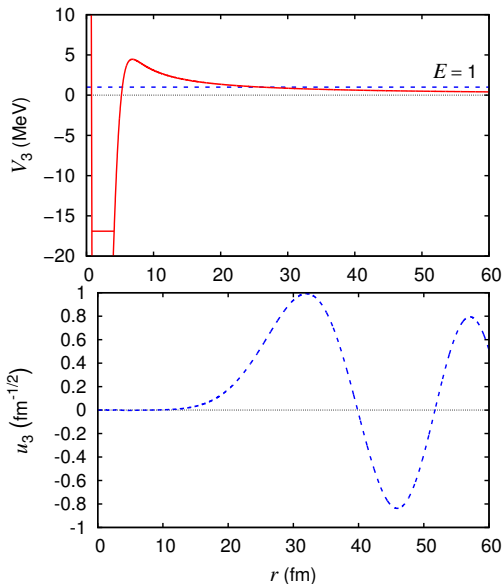
- Hautes énergies ($E \gg V$) : approximation de Born
- Amplitude de référence :

$$V = V_I + V_{II} \quad \Rightarrow \quad f = f_I + f_{II}$$

Applications

- ▶ $V_I =$ Coulomb (longue portée), $V_{II} =$ nucléaire (courte portée)
- ▶ $V_{II} \ll V_I$ (perturbation) \Rightarrow approximation de l'onde déformée (Born)

$$E = k^2 \gtrsim 0$$



- barrière “infranchissable”
- probabilité de transmission (facteur de pénétration)

$$P_l \underset{k \rightarrow 0}{\propto} k^{2l+1}$$

Comportement de la section efficace à (très) basse énergie

- Barrières Coulombienne et centrifuge \Rightarrow seul le cas $l = \eta = 0$ a un déphasage non négligeable, donné par le développement en portée effective

$$\delta_0(k) - \delta_0(0) \approx a_0 k$$

- ▶ $a_0 =$ longueur de diffusion
 - ▶ $|a_0|$ très grande lorsqu'état lié ou virtuel proche de $E = 0$
- Amplitude de diffusion correspondante isotrope

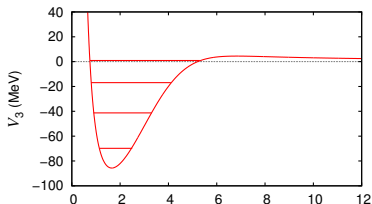
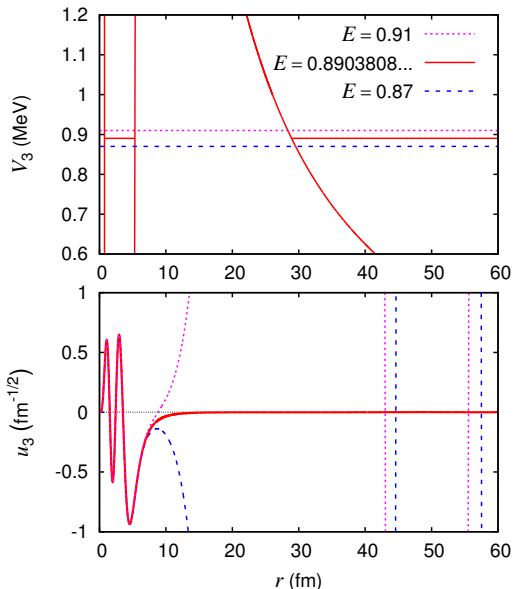
$$f(k, \theta) \approx a_0$$

- Sections efficaces \equiv sphère de rayon a_0

$$\frac{d\sigma}{d\Omega} \approx a_0^2 \quad \sigma \approx 4\pi a_0^2$$

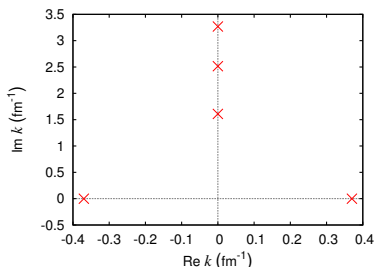
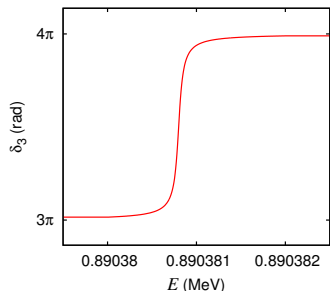
- Simplification physique importante (cf. gaz ultrafroids) mais ne tient pas compte des **résonances**

$E = k^2 > 0$, résonance



- Résonance : analogie avec état lié mais oscillations à grande distance
- Hors résonance : changement de signe = augmentation de π du déphasage

Résonance : déphasage/matrice de collision



$$\delta_l(E) \underset{E \approx E_r}{\approx} \delta_{\text{fond}} + \arctan \frac{\Gamma/2}{E_r - E}$$

- E_r = énergie, Γ = largeur
- Durée de vie : $\tau = \hbar/\Gamma$
- Exemple : $^{16}\text{O} + \alpha$, $l = 3$:
 $\Gamma \approx 0.08$ eV $\Rightarrow \tau \approx 8$ fs

$$U_l(E) \underset{E \approx E_r}{\approx} U_{\text{fond}} \frac{E - E_r - i\Gamma/2}{E - E_r + i\Gamma/2}$$

- États liés : pôles dans $\text{Im } k > 0$
- Résonances : pôles dans $\text{Im } k < 0$
- (État virtuel : pôle sur $\text{Im } k < 0$)

Résonance : sections efficaces

- Variation brutale de la section efficace partielle correspondante

$$\sigma_l(E) \underset{E \approx E_r}{\approx} \frac{4\pi}{k^2} (2l + 1) \frac{\Gamma^2/4}{(E_r - E)^2} \quad (\delta_{\text{fond}} = 0)$$

(formule de Breit-Wigner)

Plan

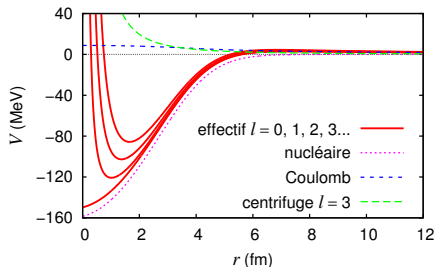
- 1 Système de deux particules en mécanique classique
 - Simplifications du problème
 - Section efficace de diffusion élastique
- 2 Système de deux particules en mécanique quantique
 - Simplifications du problème
 - Étude heuristique de l'équation de Schrödinger radiale
 - Déphasages - amplitude de diffusion - section efficace
 - Développement en portée effective - résonances
- 3 **Méthode de la matrice R**
 - Zone intérieure
 - Zone extérieure
- 4 Généralisation à plusieurs voies

Motivations

- Point de vue théorique : méthode efficace de **résolution** de l'équation de Schrödinger, identique pour les états liés et les états libres (discrétisation du continu)
- Point de vue expérimental : méthode simple de **paramétrisation** de sections efficaces expérimentales
- Particulièrement utile (et historiquement née) en physique nucléaire
- Applicable aux collisions élastiques et aux **(R)éactions**
- Utilisation récente en physique atomique, gaz ultrafroids, chimie quantique. . .

Principe : division de l'espace en deux régions

- Région **extérieure** ($r > a$) :
centrifuge + Coulomb
(longue portée, "simples")
- Région **intérieure** ($r < a$) :
centrifuge + Coulomb + nucléaire
(courte portée, compliqué car dépend de la structure des noyaux)
- **Rayon** a : arbitraire mais borné inférieurement ; peut être optimisé
- Principe : **résolution** complète à l'intérieur (modèle potentiel, modèle microscopique...), puis **raccord** avec l'extérieur en $r = a$



Exemple : $^{16}\text{O} + \alpha$, $a \gtrsim 7 \text{ fm}$

Résolution de l'équation dans la région intérieure

1 Équation de Schrödinger radiale

$$\left[-\frac{d^2}{dr^2} + V_l(r) \right] u_{kl}(r) = E u_{kl}(r)$$

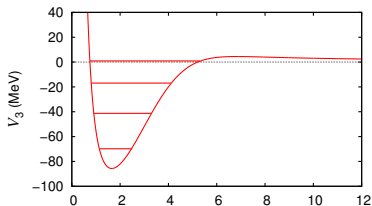
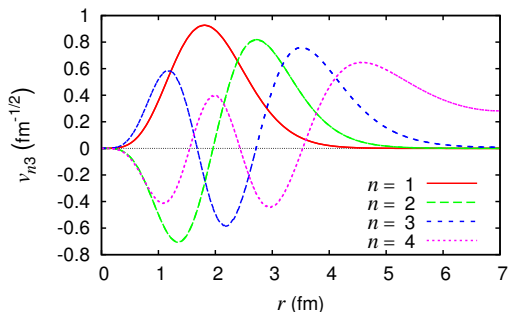
2 Condition aux limites à l'origine : $u_{kl}(0) = 0$

3 Condition aux limites en a

$$\left. \frac{r u'_{kl}(r)}{u_{kl}(r)} \right|_{r=a} = B$$

⇒ problème aux limites **hermitique** (fonction de a et B)

- valeurs propres réelles et dénombrables : E_{nl} , $n = 1, \dots, \infty$
- fonctions propres $v_{nl}(r) =$ **base** dans la zone intérieure

Exemple : $^{16}\text{O} + \alpha$, $l = 3$, $a = 7$, $B = 0$ 

n	E_{n3} (MeV)	Énergie état lié/résonance (MeV)
1	-69.7867	-69.7867
2	-41.2925	-41.2925
3	-16.9037	-16.9032
4	0.886485	0.8903808
5	7.77366	-
⋮	⋮	

Définition de la matrice R

- Développement formel de u_{kl} dans la base des v_{nl}

$$u_{kl}(r) = \sum_{n=1}^{\infty} v_{nl}(r) \langle v_{nl} | u_{kl} \rangle = \left[u'_{kl}(a) - B \frac{u_{kl}(a)}{a} \right] \sum_{n=1}^{\infty} \frac{v_{nl}(r)v_{nl}(a)}{E_{nl} - E}$$

- Dérivée logarithmique de u_{kl} à la frontière (indépendante de B)

$$\frac{a u'_{kl}(a)}{u_{kl}(a)} = B + \frac{1}{R_l(E)}$$

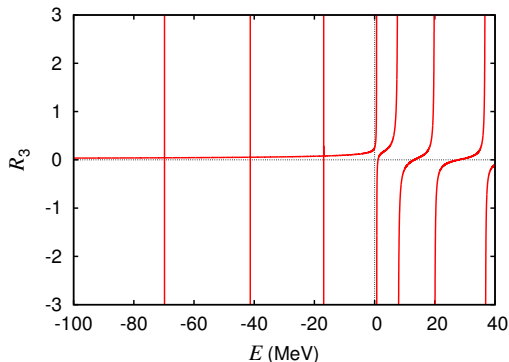
- Matrice R (fonction de a et B)

$$R_l(E) = \sum_{n=1}^{\infty} \frac{v_{nl}^2(a)}{E_{nl} - E} = \sum_{n=1}^{\infty} \frac{\tilde{\gamma}_{nl}^2}{E_{nl} - E}$$

- $E_{nl} =$ pôles de la matrice R, $\tilde{\gamma}_{nl}^2 =$ largeurs réduites formelles

Exemple : $^{16}\text{O} + \alpha$, $l = 3$, $a = 7$, $B = 0$

$$R_l(E) = \sum_{n=1}^{\infty} \frac{\tilde{\gamma}_{nl}^2}{E_{nl} - E}$$



- Fonction réelle
- Monotone croissante
- Infinité de singularités

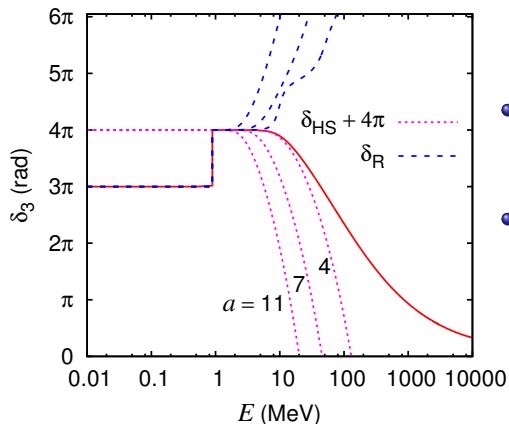
Calcul de la matrice de collision/du déphasage

- Zone extérieure : $u_{kl}(r) \propto I_l(kr) - O_l(kr)U_l(k)$
 - ▶ $I_l = O_l^*$ = fonctions Coulombiennes (“Ingoing” et “Outgoing”)
 - ▶ $O_l = e^{i(kr-l\pi/2)}$ pour $\eta = 0$
- Continuité avec la zone intérieure (matrice R) en $r = a \Rightarrow$

$$U_l(k) = \frac{I_l(ka)}{O_l(ka)} \frac{1 - [S_l(ka) - B - iP_l(ka)] R_l(E)}{1 - [S_l(ka) - B + iP_l(ka)] R_l(E)}$$

$\underbrace{\hspace{10em}}_{\exp[2i\delta_{lHS}(k)]} \qquad \underbrace{\hspace{10em}}_{\exp[2i\delta_{lR}(k)]}$

- ▶ $O'(ka)a/O(ka) = S_l(ka) + iP_l(ka)$
- ▶ S_l, P_l = facteurs de **déplacement** (“Shift”) et de **pénétration**
- Décomposition de la matrice de collision (et du déphasage)
 - ▶ sphère dure (“Hard Sphere”, $u_{kl}(a) = 0$) : variation lente
 - ▶ matrice R ou résonnant : variations rapides possibles

Exemple : $^{16}\text{O} + \alpha$, $l = 3$, $n = 90$ 

- Calcul théorique
 - ▶ grand nombre de pôles
 - ▶ a arbitraire ($> a_0$)
- Paramétrisation de données expérimentales
 - ▶ nombre restreint de pôles
 - ▶ optimiser a possible ($\neq a_0$)

Approximation à un pôle (isolé ou unique) : $R_l(E) \approx \frac{\tilde{\gamma}_1^2}{E_1 - E}$

- Matrice de collision résonnante de forme Breit-Wigner

$$U_{lR}(E) \approx \frac{1 - [S_l(ka) - B - iP_l(ka)] \frac{\tilde{\gamma}_1^2}{E_1 - E}}{1 - [S_l(ka) - B + iP_l(ka)] \frac{\tilde{\gamma}_1^2}{E_1 - E}} \underset{E \approx E_r}{\approx} \frac{E - E_r - i\Gamma/2}{E - E_r + i\Gamma/2}$$

- ▶ énergie de la résonance

$$E_r \approx E_1 - \tilde{\gamma}_1^2 [S_l(k_r a) - B]$$

où S = facteur de déplacement ("Shift")

- ▶ largeur de la résonance

$$\Gamma \approx 2 \frac{\tilde{\gamma}_1^2}{1 + \tilde{\gamma}_1^2 \frac{dS_l(k_r a)}{dE}} P_l(k_r a) \equiv 2\gamma^2 P_l(k_r a)$$

= probabilité de présence en $a \times$ transmission de a à l'infini

- Paramètres **formels** $E_1, \tilde{\gamma}_1^2 \neq$ paramètres **physiques** E_r, γ^2
- Développement en **portée effective** correct (pas pour Breit-Wigner)

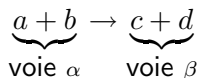
Plan

- 1 Système de deux particules en mécanique classique
 - Simplifications du problème
 - Section efficace de diffusion élastique
- 2 Système de deux particules en mécanique quantique
 - Simplifications du problème
 - Étude heuristique de l'équation de Schrödinger radiale
 - Déphasages - amplitude de diffusion - section efficace
 - Développement en portée effective - résonances
- 3 Méthode de la matrice R
 - Zone intérieure
 - Zone extérieure
- 4 Généralisation à plusieurs voies

Définition des voies

- Jusqu'ici, collisions élastiques de deux particules sans spin
- Généralisations à **deux** particules
 - ▶ particules de spins I_1 et $I_2 \Rightarrow (2I_1 + 1)(2I_2 + 1)$ voies
 \Rightarrow **matrices**
 - ▶ collisions inélastiques : $a + b \rightarrow a + b^*$
 \Rightarrow matrices et **seuil** $\Delta = (m_{b^*} - m_b)c^2$
 - ▶ réactions : $a + b \rightarrow c + d$
 \Rightarrow matrices, seuil, **coordonnées relatives** $r_{ab} \neq r_{cd}$
- Voie caractérisée par état interne (composition, énergie de masse, (état de) spin. . .) des particules infiniment séparées

Voies ouvertes et fermées



- Masses réduites, coordonnées relatives : $\mu_\alpha, \mathbf{r}_\alpha$ et $\mu_\beta, \mathbf{r}_\beta$
- Énergies, nombres d'ondes relatifs : $E_\alpha, \mathbf{k}_\alpha$ et $E_\beta, \mathbf{k}_\beta$
- Énergies de seuil : $\Delta = (m_c + m_d - m_a - m_b)c^2$
- Voie ouverte $\Leftrightarrow E_\alpha > \Delta$

Sections efficaces différentielles

- États stationnaires de diffusion $H \left| \varphi_{k_\beta \mathbf{1}_{z_\beta}} \right\rangle = E \left| \varphi_{k_\beta \mathbf{1}_{z_\beta}} \right\rangle$ avec

$$\langle \mathbf{r}_\gamma | \varphi_{k_\beta \mathbf{1}_{z_\beta}} \rangle_{r_\gamma \rightarrow \infty} \propto \left[\delta_{\beta\gamma} e^{ik_\beta z_\beta} + \left(\frac{\mu_\gamma}{\mu_\beta} \right)^{1/2} f_{\beta\gamma}(k_\beta, \theta_\gamma) \frac{e^{ik_\gamma r_\gamma}}{r_\gamma} \right]$$

- $f_{\beta\gamma}(k_\beta, \theta_\gamma)$ sont les amplitudes de diffusion, dont on déduit les sections efficaces différentielles

$$\frac{d\sigma_{\beta\gamma}}{d\Omega_\gamma}(k_\beta, \theta_\gamma) = \frac{k_\gamma}{k_\beta} |f_{\beta\gamma}(k_\beta, \theta_\gamma)|^2$$

- Décomposition en ondes partielles de moment cinétique total $\mathbf{J} = \mathbf{L} + \mathbf{I}_1 + \mathbf{I}_2$ et de parité $\pi \Rightarrow$ sommes compliquées faisant intervenir des **matrices de collision partielles** $U^{J\pi}(E)$

Calcul des matrices de collision partielles

Exemple à deux voies

- Système d'équations de Schrödinger radiales couplées ($EJ\pi$)

$$\begin{pmatrix} -\frac{1}{2\mu_\beta} \frac{d^2}{dr_\beta^2} + V_{\beta\beta}^{l_\beta}(r_\beta) & V_{\beta\gamma}(r_\gamma) \\ V_{\gamma\beta}(r_\beta) & -\frac{1}{2\mu_\gamma} \frac{d^2}{dr_\gamma^2} + V_{\gamma\gamma}^{l_\gamma}(r_\gamma) \end{pmatrix} \begin{pmatrix} u_{\beta\beta}(r_\beta) \\ u_{\gamma\beta}(r_\gamma) \end{pmatrix} \\ = \begin{pmatrix} k_\beta^2 & 0 \\ 0 & k_\gamma^2 \end{pmatrix} \begin{pmatrix} u_{\beta\beta}(r_\beta) \\ u_{\gamma\beta}(r_\gamma) \end{pmatrix}$$

- Matrice de collision $U^{J\pi}(E)$

$$\begin{pmatrix} u_{\beta\beta}(r_\beta) & u_{\beta\gamma}(r_\beta) \\ u_{\gamma\beta}(r_\gamma) & u_{\gamma\gamma}(r_\gamma) \end{pmatrix} \underset{r \rightarrow \infty}{\propto} \begin{pmatrix} e^{-i(k_\beta r_\beta - l_\beta \frac{\pi}{2})} & 0 \\ 0 & e^{-i(k_\gamma r_\gamma - l_\gamma \frac{\pi}{2})} \end{pmatrix} \\ - \begin{pmatrix} e^{i(k_\beta r_\beta - l_\beta \frac{\pi}{2})} & 0 \\ 0 & e^{i(k_\gamma r_\gamma - l_\gamma \frac{\pi}{2})} \end{pmatrix} \begin{pmatrix} U_{\beta\beta} & \sqrt{\frac{k_\gamma}{k_\beta}} U_{\beta\gamma} \\ \sqrt{\frac{k_\beta}{k_\gamma}} U_{\gamma\beta} & U_{\gamma\gamma} \end{pmatrix}$$

Paramétrisation des matrices de collision partielles ($J\pi$)

- Matrice R : $E_n =$ énergies (réelles) des pôles, $\tilde{\gamma}_{n,\alpha}^2 =$ largeurs réduites formelles dans la voie α

$$R_{\alpha\beta}(E) = \sum_{n=1}^{\infty} \frac{\tilde{\gamma}_{n,\alpha}\tilde{\gamma}_{n,\beta}}{E_n - E}$$

- Matrice de collision :

$$U(E) = Z^{-1}(E)Z^*(E)$$

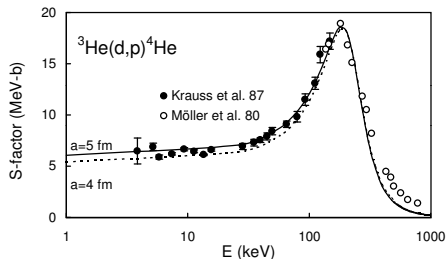
avec

$$Z_{\alpha\beta}(E) = O_{\alpha}(k_{\alpha}a)\delta_{\alpha\beta} - a\sqrt{k_{\alpha}k_{\beta}}R_{\alpha\beta}(E)O'_{\beta}(k_{\beta}a)$$

Exemple : réaction de transfert ${}^3\text{He}(d,p){}^4\text{He}$

Réaction d'intérêt astrophysique à très basse énergie

⇒ **facteur astrophysique** $S(E) = \sigma(E)E \exp(2\pi\eta)$



- Deux configurations, $\Delta < 0$
- Résonance $3/2^+$, énergie $E_r = 210$ keV, largeurs partielles $\Gamma_d = 26$ keV, $\Gamma_p = 190$ keV $\Rightarrow \Gamma = 216$ keV
- Approximation à deux voies...
 - ▶ $l_d = 0$
 - ▶ $l_p = 2$
- ...et à un pôle \Rightarrow sensibilité à a sous la résonance

	$a = 4$ fm	$a = 5$ fm
E_1 (keV)	127	158
$\tilde{\gamma}_d^2$ (keV)	170	111
$\tilde{\gamma}_p^2$ (keV)	45	31

[Descouvemont, 2004]

Résumé

- Problème à deux corps \Rightarrow **équation(s) de Schrödinger radiale(s)** (une dimension) pour chaque onde partielle
- Matrices de collisions (déphasages) \Rightarrow amplitudes de diffusion \Rightarrow sections efficaces
- Basses énergies
 - ▶ quelques ondes partielles suffisent
 - ▶ développement en portée effective
- Résonances : phénomène ondulatoire, analogue aux états liés
- Matrice R : méthode très efficace, tant théoriquement qu'expérimentalement, mais quelques précautions nécessaires